

При $\frac{l_0}{v} \leq t < \frac{2l_0}{a}$: $u = A(I_3 - I_4)$,

$$I_3 - I_4 = \frac{\pi^2}{2l_0} \begin{cases} z(v-a), & 0 \leq z < 2l_0 - at; \\ z(2v-a) + v(at - 2l_0), & 2l_0 - at \leq z < l_0 + \frac{l_0 a}{v} - at; \\ (a-v)(l_0 - z), & l_0 + \frac{l_0 a}{v} - at < z \leq l_0. \end{cases}$$

При $\frac{2l_0}{a} \leq t < \frac{l_0}{2a} \left(3 + \frac{a}{v}\right)$: $u = A(I_3 - I_5)$,

$$I_3 - I_5 = \frac{\pi^2}{2l_0} \begin{cases} 3z(v-a), & 0 \leq z < at - 2l_0; \\ z(2v-a) + v(at - 2l_0), & at - 2l_0 \leq z < l_0 + \frac{l_0 a}{v} - at; \\ (a-v)(l_0 - z), & l_0 + \frac{l_0 a}{v} - at \leq z \leq l_0. \end{cases}$$

Формы пролета, соответствующие рассмотренным промежуткам времени, представлены на рисунке 4.6. При

$$t = \frac{l_0}{2a} \left(3 + \frac{a}{v}\right)$$

скорости точек пролета, как видно из рисунка, становятся нулевыми, и, следовательно, в любой последующий момент времени его форму можно получить геометрическим построением, описанным в [31].

Координата $z^{1\max}$ максимального динамического прогиба $u_d^{1\max}$ и момент времени $t^{1\max}$, в который он достигается, легко определяются из рисунка 4.6:

$$t^{1\max} = \frac{2l_0}{a+v}; \quad z^{1\max} = \frac{2vl_0}{a+v}.$$

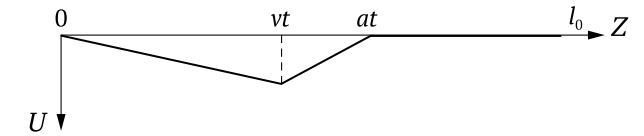
Тогда

$$u_d^{1\max} = A \frac{\pi^2}{2l_0} x^{1\max} = \frac{2Pl_0}{\rho' av} \frac{1}{\left(1 + \frac{a}{v}\right)^2} = 8u_c^{1\max} \frac{av}{(v+a)^2}. \quad (4.57)$$

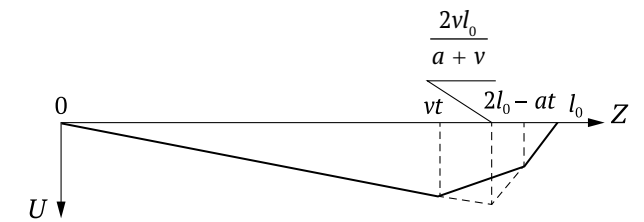
Из этого равенства, в частности, следует, что при уменьшении скорости v от a до $a/2$ прогиб $u_d^{1\max}$ уменьшается в 9/8 раз.

Аналогично может быть найден прогиб пролета при $\frac{a}{i+1} \leq v \leq \frac{a}{i}$ для любого i .

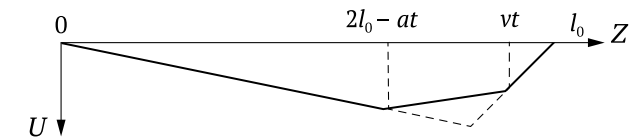
$$0 \leq t \leq \frac{l_0}{a}$$



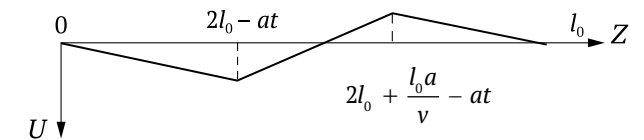
$$\frac{l_0}{a} < t < \frac{2l_0}{a+v}$$



$$\frac{2l_0}{a+v} \leq t < \frac{l_0}{v}$$



$$\frac{l_0}{v} \leq t < \frac{2l_0}{a}$$



$$\frac{2l_0}{a} \leq t < \frac{l_0}{2a} \left(3 + \frac{a}{v}\right)$$

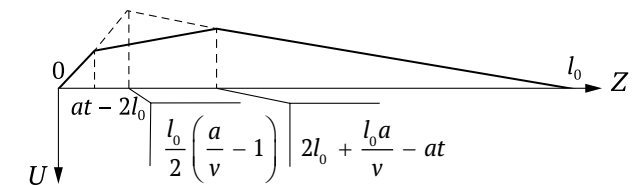


Рисунок 4.6